陈雪梅 廖 怡 张育恺 冯志坚

遮阴处理对金蒲桃生长量及光合参数的影响<sup>\*</sup>

(华南农业大学,广东广州 510642)

摘要 以 2 a 生金蒲桃(Xanthostemon chrysanthus)幼苗为材料,研究了全光照,50% 遮阴,70% 遮阴,90% 遮阴 4 种遮阴处理对金蒲桃生长特性、生物量分配、光合生理变化的影响,结果表明:与自然光全处理对比,遮光极显著(P<0.01)地抑制了金蒲桃幼苗生物量的积累,遮光处理组叶片数量减少,叶生物量比下降,茎生物量比增加;光补偿点、光饱和点、暗呼吸速率和最大光合速率降低,光能利用效率低于全光照叶,强光下遮阴叶的净光合速率保持稳定。上述结果说明:遮阴处理后,金蒲桃在生长特性、生物量分配和光合参数上表现出对遮阴弱光的适应,表明金蒲桃是一种能广泛应用于各种光照条件的优良景观树种。

关键词 金蒲桃;遮阴;生物量;光合特征;耐阴性

中图分类号: S723 文献标识码: A 文章编号: 2096-2053(2017)02-0077-04

# Effects of Shading on Growth and Response Characteristics of Photosynthesis in *Xanthostemon chrysanthus*

CHEN Xuemei LIAO Yi ZHANG Yukai FENG Zhijian

(South China Agricultural University, Guangzhou, Guangdong 510642, China)

Abstract The growth characteristics, biomass allocation and photosynthetic physiological changes of 2-year-old *Xanthostemon chrysanthus* were examined with 4 shade gradients: full natural light(FL), 50% shading(LS), 70% shading(MS), 90% shading(HS). The results showed that compared with FL, shading inhibited the biomass accumulation of *X. chrysanthus* extremely significantly. Shading also reduced the leaf number and leaf mass ratio. However, stem mass ratio increased under shading condition. With shading treatment, plants had lower light-compensation point, light-saturation point, dark photosynthetic rate and maximum photosynthesis rate, and photosynthetic rate of light-saturation was significantly lower. When given strong light, the net photosynthetic rate of the plants under irradiation shade remained stable. We concluded that *X. chrysanthus* had the ability to adjust to shade in growth characteristics, biomass allocation, characteristics of photosynthetic. It is showed that *X. chrysanthus* is a good landscape tree species that could be widely used in various light conditions.

Key words Xanthostemon chrysanthus; shading; biomass; photosynthesis; shade tolerance

随着城市化进程的加快和生态文明建设的兴起,城乡绿化建设迎来一个快速发展时期,园林植物的需求日益增加,筛选和引进具有优良景观

和生态适应性的园林植物是满足生态园林建设的 迫切需要<sup>[1]</sup>。金蒲桃(*Xanthostemon chrysanthus*) 原产澳大利亚,近年引种到福建省、广东省等地,

<sup>\*</sup> **第一作者**: 陈雪梅 (1989— ),女,在读硕士研究生,研究方向为植物资源开发利用,E-mail: 553028047@qq.com。 **通信作者**: 冯志坚 (1962— ),男,副教授,主要从事植物资源开发利用研究,E-mail: fengzj@scau.edu.cn。

其树形优美,花、叶均具观赏性,花色独特、花姿优美,在绿化应用方面潜力很大。当前国内外以金蒲桃的景观介绍和繁殖特性研究为主[1-6],对其生态适应性研究较少,尤其是在适应性方面的基础研究仅见低温胁迫下的生理变化研究<sup>[7-8]</sup>。本研究通过人工模拟遮阴处理,观测不同遮阴条件下金蒲桃株高和地径生长量变化、生物量分布格局以及叶片形态对光强的响应等,探讨其最适宜的光照强度,旨在为金蒲桃栽培提供科学依据。

# 1 材料与方法

#### 1.1 试验地概况

研究地位于广东省广州市天河区华南农业大学树木园,平均海拔52 m,坐标为113°21′22″E,23°9′44″N,属南亚热带季风气候,水热同期、雨量充沛、无霜冻。年平均气温20~22℃,平均相对湿度77%,市区年降雨量约为1720 mm。研究地地貌类型为低丘陵,土壤类型为红壤,母岩为花岗岩。

#### 1.2 试验材料

选取高约 50 cm、健壮、无病虫害、长势良好的 2 a 生金蒲桃实生苗,栽种于 8 cm×8 cm 的育苗袋中,基质为塘泥:沙(1:1)的混合基质。

### 1.3 试验设计

试验于 2014 年 5 月至 10 月进行。试验共设 4 个处理,对照组为全光照组(FL),其他 3 个处理使用不同遮光度的黑网进行遮阴,分别为 50% 遮阴(LS),70% 遮阴(MS),90% 遮阴(HS)。每个处理 3 个重复,每个重复 10 株苗。

#### 1.4 指标测定

1.4.1 生长指标 试验前及遮光处理 5 个月后测定植株的株高和地茎。试验结束后,各处理随机选取 12 株幼苗,整株挖出清洗干净,分茎、叶、根 3 部分,105 ℃杀青 0.5 h 后在 80 ℃下烘干至恒质量,分别测定其干质量。计算根生物量比(根生物量/总生物量)、茎生物量比(茎生物量/总生物量)、叶生物量比(叶生物量/总生物量)、冠根比(地上部分生物量/根生物量)。

1.4.2 光合特性测定 采用 Li-6400 便携式光合仪 (Li-Cor, Inc, USA), 2014 年 9 月 20 日 8:30—11:30 时测定光合特征曲线,各处理组选取 3 株长 势相对一致、无病虫害的苗木,作为 3 个重复,选择顶端向下的第 5 片完全展开的叶片。空气流速为 500 μmol·s<sup>-1</sup>, CO<sub>2</sub> 浓度为 430 μmol·mol<sup>-1</sup>,

湿度为测定时的环境值。

#### 1.5 数据统计

本文利用 SPSS 21.0 对数据进行差异显著性分析, Microsoft excel 2007 进行作图。

# 2 结果与分析

#### 2.1 不同遮阴处理对金蒲桃生长特性的影响

金蒲桃幼苗的形态特征在不同遮阴处理下差异显著(表1),全光照组的生长最好,株高生长量显著大于遮阴组处理(P<0.05);叶片数量、地径生长量极显著大于遮阴组处理(P<0.01)。遮阴组间的地径生长量无显著差异。

表 1 遮阴处理对 2 a 生金蒲桃幼苗生长的影响

遮阴处理/%	株高生长量 /cm	地径生长量 /cm	叶片数量 / 片
0	32.53 ± 2.67 aA	$3.99 \pm 0.43 \text{ aA}$	$71.33 \pm 0.88 \text{ aA}$
50	25.64 ± 1.35 bA	$2.57 \pm 0.95 \text{ bB}$	$65.67 \pm 1.20 \text{ bB}$
70	$11.34 \pm 0.46$ cB	$2.21 \pm 0.54 \text{ bB}$	$50.33 \pm 0.88$ cC
90	$5.63 \pm 1.08 \text{ dB}$	$2.11 \pm 0.07 \text{ bB}$	49.67 ± 1.20 cC

注:处理时间为 2014 年 5—10 月,表中数据为平均值 ± 标准差;同列不同小写字母表示在  $\alpha$ =0.05 水平差异显著,不同大写字母表示在  $\alpha$ =0.01 水平差异显著。

#### 2.2 遮阴对金蒲桃生物量积累及其分配影响变化

遮阴度增加显著抑制金蒲桃幼苗生物量的积累(表2),全光照组与遮阴组生物量差异极显著(P<0.01)。随着遮阴程度的增加,叶生物量比逐渐减少。遮阴组的茎生物量极显著高于全光照组(P<0.01)。各处理组间的根生物量比和冠根比无显著差异。

#### 2.3 不同遮阴处理对金蒲桃叶片光合参数的影响

遮阴叶的最大光合速率  $(P_{max})$ 、光补偿点 (LCP)、光饱和点 (LSP)、暗呼吸速率  $(R_d)$  随着遮阴程度的增加而显著降低 (P<0.05) (表 3),但 70% 遮阴和 90% 遮阴处理组叶的  $P_{max}$  和 LCP 差异不显著,50% 遮阴与 70% 遮阴处理组叶的  $R_d$  差异不显著。各处理叶的光能利用效率  $(\varphi)$  差异不显著。

由图 1 可知,各个处理组叶片的净光合速率 ( $P_n$ ) 对光有效辐射 (PAR) 变化的响应趋势相同,呈先增加后降低的趋势。低光强时,各处理的  $P_n$  随着光照的增强迅速增加,当光强增大到一定程度时, $P_n$  增加趋于平缓,到达光饱和点时, $P_n$  到达最大值。从图 1 看出,遮阴处理组叶片的光能利用效率均低于全光照组叶片。

+ -	10 TO 41 TO - 1 O	7 A # ULV # 7 JE 70 EP 7- 11 TO 14 EV 84
表り	iは阴切性対クa	生金蒲桃幼苗生物积累和分配的影响

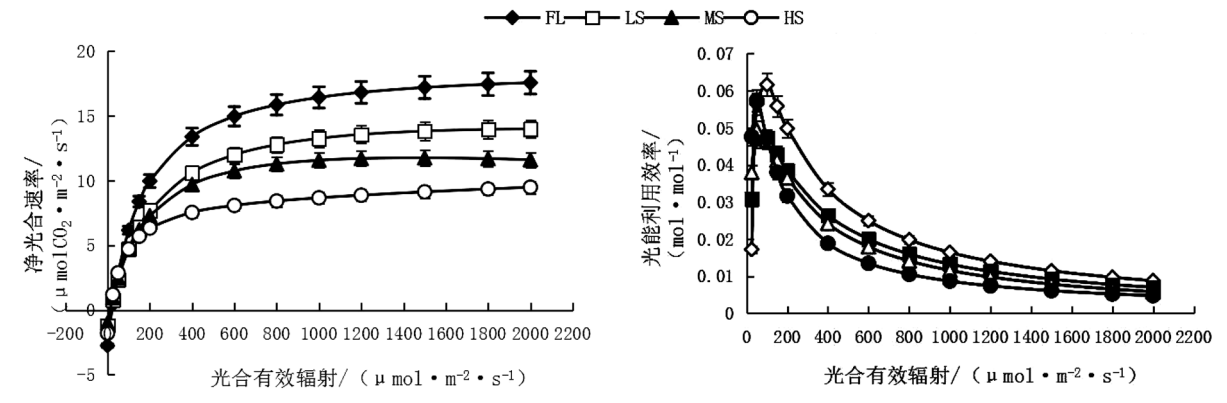
遮阴处理/%	总生物量 /g	叶生物量 /g	茎生物量 /g	根生物量 /g	叶生物量比	茎生物量比	根生物量比	冠根比
0	98.07 ± 1.57 aA	$49.30 \pm 0.54 \text{ aA}$	24.52 ± 0.46 aA	$24.26 \pm 0.68 \text{ aA}$	$0.50 \pm 0.48 \text{ aA}$	$0.25 \pm 0.00 \text{ cC}$	$0.25 \pm 0.00$	$3.05 \pm 0.64$
50	75.71 ± 1.84 bB	$30.87 \pm 0.73 \text{ bB}$	$25.88 \pm 0.62$ aA	18.97 ± 1.23 bB	$0.41 \pm 0.00 \text{ bB}$	$0.34 \pm 0.01 \text{ aAB}$	$0.25 \pm 0.01$	$3.01 \pm 0.18$
70	$60.77 \pm 0.89$ cC	$24.78 \pm 0.35$ cC	$20.05 \pm 0.09 \text{ bB}$	16.91 ± 0.57 bcBC	$0.41 \pm 0.01 \text{ bB}$	$0.31 \pm 0.00 \text{ bB}$	$0.28 \pm 0.01$	$2.60 \pm 0.10$
90	$54.53 \pm 0.74 \text{ dD}$	$20.06 \pm 0.92 \text{ dD}$	$22.38 \pm 0.9 \text{ bB}$	14.43 ± 0.34 cC	$0.36 \pm 0.01$ cC	$0.37 \pm 0.00 \text{ aA}$	$0.26 \pm 0.01$	$2.78 \pm 0.11$

注:各处理时间为 2014 年 5 月—10 月,表中数据为平均值  $\pm$  标准差;同列不同小写字母表示在  $\alpha$ =0.05 水平差异显著,不同大写字母表示在  $\alpha$ =0.01 水平差异显著;无字母表示差异不显著。

表 3 不同遮阴处理对 2 a 生金蒲桃光响应模型参数的影响

遮阴处理/%	$P_{\text{max}}$ / ( $\mu \text{molCO}_2 \cdot \text{m}^{-2} \cdot \text{s}^{-1}$ )	$\Phi/$ ( mol · mol <sup>-1</sup> )	LCP/ ( μmol · m <sup>-2</sup> · s <sup>-1</sup> )	$\frac{LSP/}{(\mu mol \cdot m^{-2} \cdot s^{-1})}$	$R_{\rm d}/$ ( $\mu { m molCO}_2 \cdot { m m}^{-2} \cdot { m s}^{-1}$ )
0	$21.14 \pm 0.04$ a	$0.071 \pm 0.03$	14.24 ± 1.56 a	1109.22 ± 11.00 a	$2.75 \pm 0.10$ a
50	14.610. ± 0.01 b	$0.067 \pm 0.02$	$8.99 \pm 1.69 \text{ b}$	$763.25 \pm 9.72 \text{ b}$	$1.21 \pm 0.01$ b
70	$12.03 \pm 0.03$ c	$0.068 \pm 0.01$	$6.44 \pm 0.78$ c	$526.74 \pm 8.15$ c	$1.01 \pm 0.01 \text{ b}$
90	$11.04 \pm 0.03$ c	$0.073 \pm 0.04$	$5.61 \pm 0.84$ c	$364.99 \pm 4.74 d$	$0.80 \pm 0.02$ c

注:各处理时间为2014年5月—10月;表中数据为平均值 ± 标准差;同列不同小写字母表示在 α=0.05 水平差异显著,不同大写字母表示在 α=0.01 水平差异显著;无字母表示差异不显著。



注: 处理时间为 2014 年 5 月—10 月, FL 代表全光照处理, LS 代表 50% 遮阴处理, MS 代表 70% 遮阴处理, HS 代表 90% 遮阴处理。

图 1 不同遮阴处理下 2 a 生金蒲桃的光响应曲线和光能利用效率

# 3 结论与讨论

光是调控植物生长发育的重要环境因子,遮光极显著(P<0.01)地抑制了金蒲桃幼苗生物量的积累,金蒲桃幼苗叶片数量减少,叶生物量比下降,茎生物量比增加,各光照强度下根生物量比和冠根比差异不显著。金蒲桃幼苗在全光照组的生长最好,高生长量与遮阴组处理均存在显著差异(P<0.05);叶片数量、地径生长量与遮阴组处理均存在极显著差异(P<0.01)。随着光辐射强度的减弱,叶面积通常变大,叶片数量减少[10-13],

本研究结果和该结论一致。研究表明高光强下,植物会减少叶生物量分配比而增加根生物量分配比,遮阴时,叶生物量分配比增加,而根生物量分配比减少<sup>[14-15]</sup>,但本试验结果表明金蒲桃在遮阴条件下叶生物量比显著下降(*P*<0.05),茎生物量比显著增加(*P*<0.05),说明金蒲桃对弱光照采取的生态适应策略为将生物量往茎干转移。

金蒲桃可以通过提高光合速率来利用强光, $P_{\text{max}}$  随光照强度增加而增加,对照组显著高于其他 3 个遮阴处理组。 $\varphi$  能正确地反映光合机构光合功能的变化 [16]。 $\varphi$  越大表明植物吸收与转换光能的

色素蛋白复合体可能越多,利用弱光能力更强一 些[17]。金蒲桃的 φ 各处理间差异不显著,说明金 蒲桃对光照适应幅度较广。LSP 和 LCP 是反映植 物对强光和弱光利用能力,代表了植物的需光特 性和需光量[18],即植物的 LCP 越低,越能利用低 光照进行光合作用, 在光照条件十分有限的情况 下, 植物通过降低 LCP 来适应弱光环境, 称为植 物光合的光驯化现象。遮阴组处理叶片的 LSP 和 LCP 显著低于全光照处理组叶片 (P<0.05), 表明 金蒲桃具有部分阴牛叶的特性,其叶片具有较强的 利用弱光的能力。也说明金蒲桃能在有限的光照 条件下以最大能力利用低光量子密度,进行光合 作用,提高有机物质的积累,维持碳平衡。金蒲 桃 R<sub>4</sub> 随着遮阴程度的增加而逐渐减小,90% 遮阴 处理下最低,说明金蒲桃可以降低自身呼吸速率 来减少碳损耗,从而适应低光照环境。当光强< 50 umol·m<sup>-2</sup>·s<sup>-1</sup>时, 3个遮阴处理下金蒲桃光 能利用效率高于全光照对照组,说明金蒲桃在弱 光条件下有较强的利用弱光的能力,这与薛思雷 等[19]的研究结果相一致。金蒲桃在全光照条件下 的光补偿点、光饱和点和最大净光合速率最大, 说明金蒲桃更适合于强光下生长, 而金蒲桃在原 产地自然环境中可高达 20 m, 也能一定程度说明 金蒲桃喜欢强光环境,这与实验结果相一致。但 由遮阴条件下金蒲桃各项光合指数又证明金蒲桃 对弱光环境也有较强的利用能力,由此可以认为 金蒲桃喜光, 但是对光照强度适应幅度较广, 是 一种能广泛应用于各种光照条件的优良景观树种。

#### 参考文献

- [1] HELLYER, R O. The occurrence of  $\beta$ -triketones in the steam-volatile oils of some myrtaceous Australian plants[J]. Australian Journal of Chemistry, 1968, 21(11): 2825-2828.
- [2] RICHARDS A E, SHAPCOTT A, PLAYFORD J, et al. Physiological profiles of restricted endemic plants and their widespread congenors in the north Queensland wet tropics, Australia[J]. Biological Conservation, 2003, 111(1): 41-52.
- [3] JOSEPH J. BROPHY, ROBERT J. GOLDSACK, PAUL I. FORSTER. A preliminary examination of the leaf oils of

- the genus *Xanthostemon* (Myrtaceae) in Australia[J]. Journal of Essential Oil Research, 2006, 18(2): 222-230.
- [4] NAZARUDIN M A, TSAN F Y, NORMANIZA O, et al. Growth performance and flowering of *Xanthostemon chry-santhus* at two urban sites in kuala lumpur, malaysia[J]. Journal of Tropical Forest Science, 2014, 26(3): 428-434.
- [5] OSMAN N, NAZARUDIN M R A, TSAN F Y, et al. Phenological growth stages of the golden penda tree (*Xanthostemon chrysanthus*)[J]. Annals of Applied Biology, 2012, 161(1): 12-15.
- [6] 莫健斌, 陈文燕, 马斌, 等. 黄金蒲桃组织培养初步研究[J]. 江苏林业科技, 2013, 40(5): 10-13.
- [7] 兰建彬, 刘国花, 唐建民,等. 黄金蒲桃对低温逆境的生理响应及其抗寒性[J]. 广东农业科学, 2014, 41(15): 37-42.
- [8] 吴盈莹, 刘永金, 廖怡, 等. 金蒲桃在深圳市的适应性研究[J]. 现代农业科技, 2014(11): 82-83.
- [9] 叶子飘, 高峻. 低光强时丹参叶片的光合速率与光强的关系[J]. 井冈山大学学报(自然科学版), 2007, 28(4): 47-50.
- [10] ANDERSON Y O. Seasonal development in sun and shade leaves[J]. Ecology, 1955, 36(3): 430-439.
- [11] DUBA S E, CARPENTER S B. Effect of shade on the growth, leaf morphology, and photosynthetic capacity of an American sycamore clone[J]. Castanea, 1980, 45(4): 219-227.
- [12] CARPENTER S B, SMITH N D. A comparative study of leaf thickness among southern Appalachian hardw[J]. Canadian Journal of Botany, 1981, 59(59): 1393-1396.
- [13] GOULET F, BELLEFLEUR P. Leaf morphology plasticity in response to light environment in deciduo[J]. Canadian Journal of Forest Research, 1986, 16(1): 29-30.
- [14] 平晓燕, 周广胜, 孙敬松. 植物光合产物分配及其影响 因子研究进展[J]. 植物生态学报, 2010, 34(1): 100-111.
- [15] 温达志, 孔国辉, 林植芳, 等. 光强对四种亚热带树苗生长特征影响的比较[J]. 热带亚热带植物学报, 1999(2): 125-132.
- [16] 许大全. 光合作用效率[M]. 上海: 上海科学技术出版 社. 2002.
- [17] 王振兴, 朱锦懋, 王健, 等. 闽楠幼树光合特性及生物量分配对光环境的响应[J]. 生态学报, 2012, 32(12): 3841-3848.
- [18] 张旺锋, 樊大勇, 谢宗强, 等. 濒危植物银杉幼树对生长光强的季节性光合响应[J]. 生物多样性, 2005, 13(5): 387-397.
- [19] 薛思雷, 王庆成, 孙欣欣, 等. 遮荫对水曲柳和蒙古栎 光合、生长和生物量分配的影响[J]. 植物研究, 2012, 32(3): 354-359.